

А. Н. ЛУКЬЯНОВ, М. В. ФРОЛОВ  
(Москва)

### ИССЛЕДОВАНИЕ СИГНАЛОВ СОСТОЯНИЯ ОПЕРАТОРА\*

В статье описывается структурная схема системы человек — машина с управлением функциональным состоянием оператора. Приводятся значения коэффициентов отличия некоторых функциональных состояний от состояния «оперативного покоя» оператора и решается статистическая задача обнаружения сигналов состояния внимания и состояния эмоционального напряжения человека.

В настоящее время информационные комплексы, автоматические системы контроля и управления, создаваемые для решения многих задач, чаще с неполной исходной информацией содержат «живое звено» — человека-оператора. Эффективность работы человека-оператора, а следовательно, и всей так называемой системы человек — машина во многом определяется функциональным состоянием последнего [1—5], поэтому проблема поддержания функционального состояния человека-оператора на заданном уровне и объективный контроль за его состоянием имеют важное теоретическое и прикладное значение.

Управление функциональным состоянием человека и контроль (так называемая автостимуляция) могут быть сведены к одноконтурной замкнутой системе управления [6—13]. Характерная особенность отмеченной системы состоит в том, что управляемым объектом является сам человек, а управление его функциональным состоянием и контроль осуществляются посредством непроизвольных реакций. По такому же

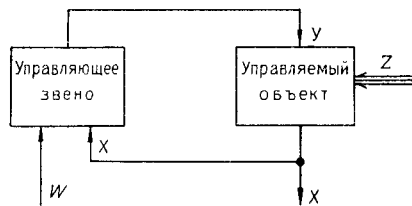


Рис. 1.

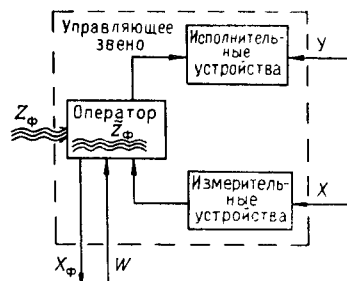


Рис. 2.

\* Публикуя эту статью, редакция обращает внимание на важность поднятых вопросов и необходимость детализации их в направлении взаимодействия человека и измерительной информационной системы.

принципу могут быть построены и более совершенные устройства [14]. Биоэлектронные протезы, использующие сигналы, возникающие при произвольных двигательных реакциях человека [15, 16], в лучшем случае строятся по известной схеме (рис. 1, 2), в которой целевой функцией являются сигналы, связанные с произвольными двигательными реакциями человека.

Большой интерес представляет объединение двух типов схем в одну «двуихкольцевую» схему с целью повышения эффективности работы системы человек — машина.

### Структурная схема системы человек — машина с управлением функциональным состоянием человека-оператора

Типичной схемой системы человек — машина может служить замкнутая система управления [17] (см. рис. 1). Данная схема не учитывает возмущений ( $Z_\phi, \tilde{Z}_\phi$ ), действующих на управляющее звено, и влияния этих возмущений на качество управления объектом.

На рис. 2 в развернутом виде показано управляющее звено, которое объединяет: исполнительные устройства, служащие для воздействия на объект, измерительные устройства, предназначенные для передачи информации о состоянии объекта (человека-оператора), выполняющего операции в соответствии с целевой функцией  $W$ . Характеристики управляющего звена при наличии в нем человека-оператора оказываются существенно зависимыми от функционального состояния оператора [1—5], обусловливаемого возмущениями внешней ( $Z_\phi$ ) и внутренней ( $\tilde{Z}_\phi$ ) среды. Поэтому нам представляется, что для непрерывного учета функционального состояния при управлении процессом  $X$  схема рис. 1 должна быть дополнена и превращена в «двуихкольцевую» замкнутую систему управления (рис. 3). В этой схеме первое «кольцо» представляет прежнюю схему (см. рис. 1), а второе «кольцо» отличается от первого

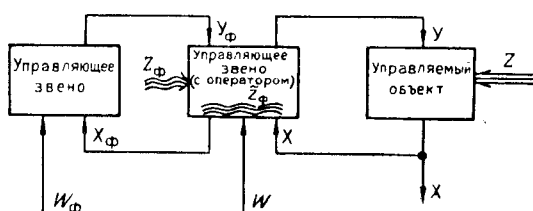


Рис. 3.

столбце. В случае недопустимого отклонения функционального состояния от требуемого действие  $Y_\phi$  в зависимости от характера управляемого процесса  $X$  обеспечивает либо прекращение управления процессом  $X$ , либо дублирование оператора.  $W_\phi$  — целевая функция для «кольца» управления функциональным состоянием оператора.

Поскольку одним из наиболее важных проявлений изменения согласованности психических процессов и функций в ходе деятельности человека является изменение характеристик внимания [18] и критические условия различными операторами переносятся по-разному [18], то для исследования задачи управления функциональным состоянием человека были выбраны два характерных состояния оператора: состояние внимания и состояние эмоционального напряжения (гревога, страх).

тем, что управляемым объектом является сам оператор, а управляемым процессом — его функциональное состояние.  $X_\phi$  — информация, характеризующая некоторым образом функциональное состояние оператора.  $Y_\phi$  — управляющее воздействие на оператора, приводящее его в требуемое со-

**Экспериментальное исследование параметров сигналов,  
характеризующих состояние внимания  
и эмоционального напряжения**

Несмотря на успехи, достигнутые физиологией в последние годы, мы все еще не располагаем надежными данными, характеризующими состояние внимания и тревоги, которые можно было бы использовать в расчетах.

**Эксперимент.** В одной из серий опытов здоровые взрослые люди выполняли функции слежения и управления, а в другой — им подавался

**Ритмы электроэнцефалограммы, их частотные диапазоны и характерные свойства**

Ритм электроэнце- фалограммы	Частотный диапазон*, кол. сек	Характерные свойства ритма	
		по В. А. Кожевникову, Р. М. Мещерскому [20]	по П. И. Гуляеву [19]
Дельта ( $\Delta$ )	Меньше 4	Преобладает над другими ритмами: 1) при патологии мозга, 2) во время сна, 3) при наркозе.	Преобладает над другими ритмами: 1) при патологии мозга, 2) глубоком сне, 3) иногда у здоровых взрослых людей.
Тэта ( $\Theta$ )	4—8	<p>1. Незначительное количество волн представляет нормальное явление.</p> <p>2. Выраженность <math>\Theta</math>-ритма зависит от 1) возраста, 2) степени умственного напряжения.</p>	<p>1. У здоровых взрослых людей встречается реже, чем А- и В-ритмы.</p> <p>2. У детей нормальная составляющая электроэнцефалограммы.</p> <p>3. Связан с эмоциями.</p> <p>4. У взрослых людей иногда связан с проявлением агрессивного поведения.</p>
Альфа (А)	8—13	<p>1. Возрастает по амплитуде при закрывании глаз в бодрствующем состоянии.</p> <p>2. Слабо выражен в состоянии возбуждения или умственного напряжения.</p> <p>3. Открывание глаз, внешние раздражители и умственное напряжение вызывают депрессию А-ритма.</p> <p>4. Обычно амплитуда А-волн претерпевает более или менее периодическое увеличение и ослабление.</p>	<p>1. Характерен для большинства здоровых людей во время бодрствования.</p> <p>2. Депрессия амплитуды А-ритма: 1) не вызывается определенным видом сенсорных раздражений, 2) вызывается умственной работой, 3) не вызывается привычными звуками, 4) всегда вызывается светом, 5) иногда вызывается внутренними процессами без внешнего повода.</p> <p>3. Явно связан с вниманием.</p>
Бета (В)	Больше 13	<p>1. В функциональном отношении связывается с сенсомоторной системой.</p> <p>2. Является ли признаком нормы или патологии, сказать нельзя (решается вопрос в каждом конкретном случае).</p>	<p>1. Не проявляет депрессии на сенсорные раздражители.</p> <p>2. Часто не у всех людей регистрируется в ЭЭГ бодрствующего состояния.</p> <p>3. Частота неустойчива (да же в течение опыта).</p>

\* По рекомендации МФОЭ и КНФ.

ряд зрительных сигналов, среди которых были эмоционально значимые, причем степень значимости определялась смысловой стороной сигнала.

Во время экспериментов осуществлялась регистрация электроэнцефалограммы (ЭЭГ) при биполярном затылочно-теменном отведении, электрокардиограммы (ЭКГ) и некоторых других физиологических характеристик (кожно-гальванический рефлекс, дыхание, объемный пульс). ЭЭГ подвергалась частотному анализу пятью полосовыми фильтрами анализатора японской фирмы «Nihon Kohden» (см. таблицу). Результаты частотного анализа фиксировались на бумаге. Кроме того, с выходов фильтров напряжения  $\Delta$ ,  $\Theta$ ,  $A$ ,  $B_1$ ,  $B_2$ -ритмов ЭЭГ подавались на ограничитель, а с ограничителя на интегратор, показания которого периодически (через каждые 10 сек) считывались и регистрировались на бумаге ( $\delta$ ,  $\vartheta$ ,  $a$ ,  $\beta_1$ ,  $\beta_2$ ).

Существенный признак ЭКГ — временной интервал  $T_R$  между зубцами  $R$ , поэтому ЭКГ заменялась новым процессом  $\eta$ , ординаты которого в отсчетные моменты времени пропорциональны  $T_R$  исходного процесса.

### Результаты эксперимента

1. У человека, адаптированного к условиям работы и находящегося в спокойном бодрствующем состоянии «оперативного покоя», функции  $a$  и  $\eta$  являются случайными стационарными процессами с нормальным законом распределения.

2. Состояние внимания и состояние тревоги приближенно можно охарактеризовать теми же случайными процессами  $a$  и  $\eta$ , но с иными значениями параметров распределения (математическое ожидание, дисперсия). Так, если дисперсию обозначить  $\sigma_{ji}^2$ , а математическое ожидание  $j$ -го процесса для  $i$ -го состояния  $m_{ji}$ , то отличие  $i$ -го состояния «оперативного покоя» можно характеризовать коэффициентами отличия:

$$k = \frac{\sigma_{ji}}{\sigma_{ji}}; a = \frac{m_{ji} - m_{ji}}{\sigma_{ji}}. \quad (1)$$

Коэффициенты отличия для состояния внимания по процессу  $a$  имеют значения  $1,2 \leq k \leq 2,2$  и  $-0,4 \leq a \leq 1,4$ , а для состояния тревоги по процессу  $\eta$  —  $-1,3 \leq k \leq 3,0$  и  $1 \leq a \leq 5,6$ .

### Обнаружение сигнала

Как показал эксперимент, устойчивое на интервале наблюдения состояние внимания (эмоциональное напряжение, «оперативный покой») может быть охарактеризовано некоторой совокупностью  $N$  случайных нормальных стационарных процессов. Параметры распределения каждого из этих процессов — математическое ожидание  $m$  и дисперсия  $\sigma^2$  — определяются состоянием оператора. Рассмотрим одну из задач первичной обработки информации — обнаружение сигнала. Эта задача решается с помощью метода критерия Неймана — Пирсона. Вопросы отождествления информации по всей совокупности  $N$  не исследуются, так как они довольно сложны и являются предметом отдельной работы.

Для упрощения задачи будем полагать, что оператор может находиться в одном из двух состояний — например в состоянии «оперативного покоя» или в состоянии внимания — и что переход из одного состояния в другое происходит достаточно быстро по сравнению с интервалом наблюдения.

Представим для состояния «оперативного покоя» некоторый случайный процесс  $y(t)$  в виде

$$y(t) = n(t); \quad m=0; \quad \sigma^2 \neq 0. \quad (2)$$

Тогда состояние внимания, или эмоционального напряжения, можно описать выражением

$$y(t) = kg(t - t_0)n(t) + mg(t - t_0), \quad (3)$$

где  $k, m$  — некоторые величины, характеризующие соответственно дисперсию и математическое ожидание процесса  $y(t)$  при наличии сигнала;

$g(t - t_0)$  — единичная функция;

$t_0$  — момент прихода сигнала.

Разумеется, такое представление сигнала не характеризует полностью случаи изменения состояния внимания, или эмоционального напряжения, у оператора в процессе наблюдения, но как приближенная аппроксимация позволяет при достаточно простом математическом аппарате получить интересные результаты.

Решение задачи обнаружения сигнала структуры (3) затрудняется в силу незнания априорного распределения параметров сигнала, в частности, момента его прихода ( $t_0$ ) на интервале выборки  $[0 - T]$ . Поэтому будем отыскивать обнаружитель, оптимальный для случая присутствия (отсутствия) сигнала на всем интервале наблюдения, но, конечно, дающий проигрыш в характеристиках обнаружения при  $0 < t_0 < T$ . Обнаружитель запаздывает с ответом на величину  $T$ , с чем в нашем случае можно согласиться. Критерий Неймана — Пирсона позволяет при заданной вероятности ложной тревоги  $F$  максимизировать вероятность правильного обнаружения  $D$ . Запишем отношение правдоподобия ( $\lambda$ ) для общего случая, когда значения процесса  $Y(t)$  ( $y(t)$  — реализация  $Y(t)$ ) в отсчетные моменты времени  $t_1, \dots, t_n$  коррелированы, что имеет место, например, при обработке ЭКГ [21]:

$$\lambda = \frac{\frac{1}{\sqrt{2\pi^n |\Lambda_s|}} \exp \left[ -\frac{1}{2} \sum_{g, h}^n Q_{gh}^s (y_g - m_g)(y_h - m_h) \right]}{\frac{1}{\sqrt{2\pi^n |\Lambda|}} \exp \left[ -\frac{1}{2} \sum_{g, h}^n Q_{gh} y_g y_h \right]}, \quad (4)$$

где  $|\Lambda|, |\Lambda_s|$  — детерминанты ковариационной матрицы процесса  $Y(t)$  при отсутствии и наличии сигнала;

$Q_{gh}, Q_{gh}^s$  — элементы обратной ковариационной матрицы процесса  $Y(t)$  при отсутствии и наличии сигнала;

$n$  — число дискретов на интервале наблюдения;

$y_g$  — дискретное значение процесса  $y(t)$  в момент времени  $t_g$ ;

$m_g$  — дискретное значение сигнала в момент времени  $t_g$ ;

$$m_1 = m_2 = \dots = m_n.$$

Введем обозначения:

$$k^2 = \frac{\sigma^2}{\sigma_s^2}; \quad 1 \leq k^2 \leq E. \quad (5)$$

Тогда можно записать следующее:

$$|\Lambda| = k^{2n} |\Lambda_s|. \quad (6)$$

После преобразования (4) с учетом (5) и (6) получим:

$$\lambda_{km} = k^n \exp\left(\frac{L}{2}\right); \quad (7)$$

$$L = \sum_{g,h}^n Q_{gh} (1 - k^2) y_g y_h + \sum_{g,h}^n m k^2 Q_{gh} (y_g + y_h) - \sum_{g,h}^n Q_{gh} m^2 k^2. \quad (8)$$

Оптимальная схема обнаружителя для независимых параметров  $k$  и  $m$ , имеющих априорные распределения  $p(m)$  и  $p(k)$ , описывается следующим образом [22]:

$$\bar{\lambda} = \int_1^E \int_0^C \lambda_{km} p(m) p(k) dm dk, \quad (9)$$

где  $(1 - E)$ ,  $(0 - C)$  — соответственно пределы интегрирования по  $k$  и  $m$ .

Решение о наличии сигнала принимается по правилу:  $\bar{\lambda} \geq u$  — сигнал есть;  $\bar{\lambda} < u$  — сигнала нет, где  $u$  — некоторое пороговое значение.

Интеграл вида (9) в элементарных функциях не берется; кроме того, отсутствие точного знания априорных законов распределения параметров  $p(k)$  и  $p(m)$  может сделать алгоритм обработки (9) отличающимся от оптимального. Поэтому мы ограничимся исследованием обнаружителя для точно известного сигнала, а затем покажем, как будут меняться характеристики такого обнаружителя при отклонении параметров полезного сигнала от параметров канала [23]. Для отыскания схемы обнаружителя точно известного сигнала (параметры  $k$ ,  $m$  заданы) воспользуемся монотонной функцией  $\lambda$

$$\begin{aligned} \ln \lambda = & \frac{1}{2} \left[ \ln k^n + \sum_{g,h}^n Q_{gh} (1 - k^2) y_g y_h + \right. \\ & \left. + \sum_{g,h}^n k^2 m Q_{gh} (y_g + y_h) - \sum_{g,h}^n k^2 m^2 Q_{gh} \right]. \end{aligned} \quad (10)$$

Решение о наличии или отсутствии сигнала теперь будем принимать по некоторой функции  $\varphi$ :  $\varphi \geq u^*$  — сигнал есть;  $\varphi < u^*$  — сигнал отсутствует,

$$\text{где } \varphi = \sum_{g,h}^n Q_{gh} (1 - k^2) y_g y_h + \sum_{g,h}^n k^2 m Q_{gh} (y_g + y_h) \quad (11)$$

содержит лишь члены, зависящие от входной последовательности [22].

Уравнение (11) определяет окончательную схему оптимального обнаружителя сигнала с известными параметрами  $k$  и  $m$ . Для построения характеристик такого обнаружителя необходимо найти функцию распределения случайной величины  $\varphi$  [24]. При достаточно большом числе независимых дискретов входного процесса  $y(t)$  можно считать, что  $\varphi$  имеет нормальное распределение [22]. Найдем параметры  $(k_0, m_0)$  такого распределения при наличии и отсутствии сигнала и настройке канала обнаружения. При отсутствии сигнала математическое ожидание будет определяться выражением

$$\begin{aligned} m_{\varphi_0} = \bar{\varphi} &= \sum_{g, h}^n Q_{gh} (1 - k_0^2) y_g y_h + \sum_{g, h}^n k_0^2 m_0 Q_{gh} (y_g + y_h) = \\ &= \sum_{g, h}^n Q_{gh} (1 - k_0^2) \overline{y_g y_h} + \sum_{g, h}^n k_0^2 m_0 Q_{gh} (\overline{y_g + y_h}) = (1 - k_0^2) n, \quad (12) \end{aligned}$$

а дисперсия —

$$\begin{aligned} \sigma_{\varphi_0} = \bar{\varphi^2} - \bar{\varphi}^2 &= \left[ \sum_{g, h}^n Q_{gh} (1 - k_0^2) y_g y_h + \sum_{g, h}^n k_0^2 m_0 Q_{gh} (y_g + y_h) \right]^2 - \\ &- m_{\varphi_0}^2 = \sum_{g, h}^n \sum_{k, l}^n Q_{gh} Q_{kl} (1 - k_0^2)^2 \overline{y_g y_h y_k y_l} + \\ &+ 2k_0^2 m_0 (1 - k_0^2) \sum_{g, h}^n \sum_{k, l}^n Q_{gh} Q_{kl} \overline{(y_g + y_h) y_g y_h} + \\ &+ k_0^4 m_0^2 \sum_{g, h}^n \sum_{k, l}^n Q_{gh} Q_{kl} \overline{(y_g + y_h) (y_k + y_l)} - m_{\varphi_0}^2, \end{aligned}$$

где

$$\begin{aligned} \overline{y_g y_h y_k y_l} &= R_{gh} R_{kl} + R_{gk} R_{hl} + R_{gl} R_{kh}; \quad \sum_{g, h}^n \sum_{k, l}^n Q_{gh} Q_{kl} R_{gh} R_{kl} = n^2; \\ \overline{y_g y_h y_k} &= 0; \quad \sum_{g, h}^n \sum_{k, l}^n Q_{gh} Q_{kl} R_{gk} R_{hl} = n; \\ \bar{y}_g &= 0; \quad \sum_{g, h}^n \sum_{k, l}^n Q_{gh} Q_{kl} R_{gk} = \sum_{g, h}^n Q_{gh}; \end{aligned}$$

$R_{gh}$  — элемент прямой ковариационной матрицы процесса  $Y(t)$  (сигнал отсутствует).

После преобразования получим

$$\sigma_{\varphi_0}^2 = 2(1 - k_0^2)^2 n + 4k_0^4 m_0^2 \sum_{g, h}^n Q_{gh}. \quad (13)$$

Найдем теперь математическое ожидание  $m_{\varphi_s}$  и дисперсию  $\sigma_{\varphi_s}^2$  случайной величины  $\varphi$  при полностью известных параметрах сигнала

$$m_{\varphi_s} = \bar{\varphi}_s = \sum_{g, h}^n Q_{gh} (1 - k^2) \overline{y_g^s y_h^s} + \sum_{g, h}^n Q_{gh} k^2 m (\overline{y_g^s + y_h^s}) = \\ = \sum_{g, h}^n (1 - k^2) \overline{(y_g^* + m)(y_h^* + m)} Q_{gh} + \sum_{g, h}^n Q_{gh} k^2 m (\overline{y_g^* + y_h^* + 2m}),$$

где

$$y_g^s = y_g^* + m_0; \quad \overline{y_g^*} = 0.$$

$$\text{Если } \overline{y_g^* y_h^*} = R_{gh}^s \text{ и } R_{gh}^s = \frac{R_{gh}}{k_0^2}, \quad \text{то при } k = k_0, m = m_0;$$

$$m_{\varphi_s} = \frac{(1 - k_0^2)}{k_0^2} n + (1 + k_0^2) m_0^2 \sum_{g, h}^n Q_{gh}; \quad (14)$$

$$\begin{aligned} \sigma_{\varphi_s}^2 &= \overline{\varphi_s^2} - \bar{\varphi}_s^2 = \left[ \sum_{g, h}^n (1 - k^2) Q_{gh} (y_g^* + m) (y_h^* + m) + \right. \\ &\quad \left. + \sum_{g, h}^n k^2 m Q_{gh} (y_g^* + y_h^* + 2m) \right]^2 - m_{\varphi_s}^2 = \sum_{g, h}^n \sum_{k, l}^n (1 - k^2)^2 Q_{gh} Q_{kl} (y_g^* + \\ &\quad + m) (y_h^* + m) (y_k^* + m) (y_l^* + m) + 2 \sum_{g, h}^n \sum_{k, l}^n (1 - k^2) Q_{gh} Q_{kl} k^2 m (y_g^* + \\ &\quad + m) (y_h^* + m) (y_k^* + y_l^* + 2m) + \sum_{g, h}^n \sum_{k, l}^n k^4 m^2 Q_{gh} Q_{kl} (y_g^* + y_h^* + 2m) (y_k^* + \\ &\quad + y_l^* + 2m) - m_{\varphi_s}^2. \end{aligned}$$

Опуская некоторые преобразования, окончательно получим ( $k = k_0$ ,  $m = m_0$ ):

$$\sigma_{\varphi_s}^2 = \frac{(1 - k_0^2)^2 2n}{k_0^4} + \frac{4m_0^2}{k_0^2} \sum_{g, h}^n Q_{gh}. \quad (15)$$

Для достаточно малых изменений дисперсии ( $k^2 \approx 1$ ) или математического ожидания процесса  $Y(t)$  при наличии сигнала алгоритм обнаружителя (11) упрощается и не зависит от параметров настройки  $k_i$ ,  $m_i$ :

$$\varphi' = \sum_{g, h}^n Q_{gh} (y_g + y_h) \quad (k^2 \approx 1); \quad (16)$$

$$\varphi'' = \sum_{g, h}^n Q_{gh} y_g y_h \quad (m \approx 0). \quad (17)$$

Математическое ожидание и дисперсия случайных величин  $\varphi'$ ,  $\varphi''$  определяются выражениями:

$$\left. \begin{array}{l} m_{\varphi_0'} = 0; \quad \sigma_{\varphi_0'}^2 = 4m_0^2 \sum_{g,h}^n Q_{gh} \\ m_{\varphi_0''} = (1 - k_0^2) n; \quad \sigma_{\varphi_0''}^2 = 2(1 - k_0^2)^2 n \end{array} \right\} \text{при отсутствии сигнала;} \quad (18)$$

$$\left. \begin{array}{l} m_{\varphi_s'} = 2m_0^2 \sum_{g,h}^n Q_{gh}; \quad \sigma_{\varphi_s'}^2 = 4m_0^2 \sum_{g,h}^n Q_{gh} \\ m_{\varphi_s''} = \frac{(1 - k_0^2)}{k_0^2} n; \quad \sigma_{\varphi_s''}^2 = 2 \frac{(1 - k_0^2)}{k_0^4} n \end{array} \right\} \text{при наличии сигнала.} \quad (19)$$

Запишем теперь закон распределения случайной величины  $\varphi$ :

$$P_0(\varphi) = \frac{1}{\sigma_{\varphi_0} \sqrt{2\pi}} \exp \left[ -\frac{(\varphi - m_{\varphi_0})^2}{2\sigma_{\varphi_0}^2} \right] \text{ при отсутствии сигнала;} \quad (20)$$

$$P_s(\varphi) = \frac{1}{\sigma_{\varphi_s} \sqrt{2\pi}} \exp \left[ -\frac{(\varphi - m_{\varphi_s})^2}{2\sigma_{\varphi_s}^2} \right] \text{ при наличии сигнала.} \quad (21)$$

Вероятность ложной тревоги будет равна

$$F = 1 - \Phi \left[ \frac{(u - m_{\varphi_0})}{\sigma_{\varphi_0}} \right], \quad (22)$$

а вероятность правильного обнаружения —

$$D = 1 - \Phi \left[ \frac{(u - m_{\varphi_s})}{\sigma_{\varphi_s}} \right], \quad (23)$$

где

$$\Phi(\xi) = \frac{1}{\sqrt{2\pi}} \int_{-\infty}^{\xi} e^{-\frac{\psi^2}{2}} d\psi \text{ — функция Лапласа;}$$

$u$  — некоторый порог.

Рассмотрим теперь случай, когда параметры сигнала отличаются от параметров настройки канала ( $m \neq m_0$ ,  $k \neq k_0$ ). Найдем математическое ожидание и дисперсию случайной величины  $\varphi$ :

$$\begin{aligned} \tilde{m}_{\varphi_s} &= (1 - k_0^2) \sum_{g,h}^n Q_{gh} (y_g^* + m) (y_h^* + m) + \sum_{g,h}^n k_0^2 m_0 Q_{gh} (y_g^* + y_h^* + 2m) = \\ &= (1 - k_0^2) \frac{n}{k^2} + \sum_{g,h}^n Q_{gh} (1 - k_0^2) m^2 + 2 \sum_{g,h}^n k_0^2 m_0 m Q_{gh}; \end{aligned} \quad (24)$$

$$\begin{aligned} \tilde{\sigma}_{\varphi_s}^2 &= \overrightarrow{\left[ \sum_{g,h}^n Q_{gh} (1 - k_0^2) (y_g^* + m) (y_h^* + m) + \sum_{g,h}^n k_0^2 m_0 Q_{gh} (y_g^* + \right.} \\ &\quad \left. \overrightarrow{+ y_h^* + 2m}) \right]^2 - \tilde{m}_{\varphi_s}^2}. \end{aligned}$$

Опуская преобразования, запишем

$$\tilde{\sigma}_{\varphi_s}^2 = \frac{2(1-k_0^2)^2 n}{k^4} + \sum_{g, h}^n Q_{g \cdot h} \frac{4k_0^2 m_0 [2m - 2k_0^2 m + k_0^2 m_0] + 4m^2 (1-k_0^2)^2}{k^2}. \quad (25)$$

Можно видеть, что при равенстве параметров полезного сигнала ( $k, m$ ) параметрам настройки канала ( $k_0, m_0$ ) формулы (24), (25) становятся эквивалентными формулам (14), (15). Для этого случая характеристики обнаружения описываются, как и ранее, уравнениями (22), (23) с

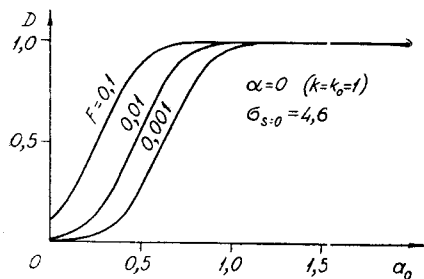


Рис. 4.

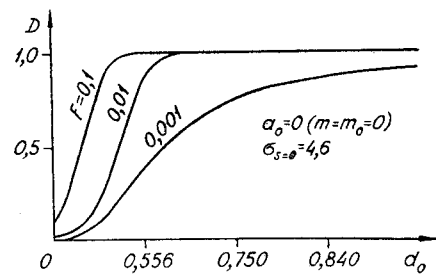


Рис. 5.

заменой в (23)  $m_{\varphi_s}$  и  $\sigma_{\varphi_s}$  на  $\tilde{m}_{\varphi_s}$  и  $\tilde{\sigma}_{\varphi_s}$ . По формулам (22), (23) построены характеристики обнаружения; при этом прямая ковариационная матрица имела вид

$$R_{gh} = R(0) e^{-(g-h)\gamma},$$

что характерно, например, для процесса  $a$ .

На рис. 4 представлена зависимость вероятности правильного обнаружения от коэффициента отличия  $a_0 = \frac{m_s}{\sigma_{s=0}}$  при  $k=1$  для точно из-

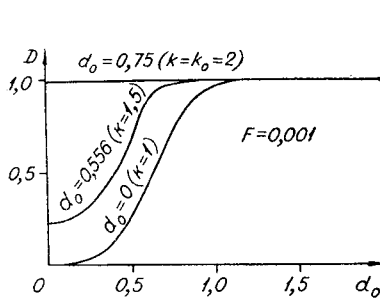


Рис. 6.

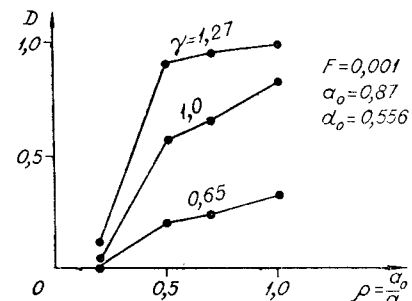


Рис. 7.

вестного сигнала ( $k=k_0, m=m_0$ ). Индекс  $s$  характеризует наличие или отсутствие сигнала.

На рис. 5 дана характеристика вероятности правильного обнаружения  $D$  для фиксированных значений ложной тревоги в функции параметра  $d_0$  при  $a_0=0$ :

$$d_0 = \frac{k_0^2 - 1}{k_0^2} = \frac{\sigma_s^2 = 0 - \sigma_s^2}{\sigma_s^2 = 0}.$$

График на рис. 6 описывает более общий случай: для вероятности ложной тревоги  $F=0,001$  построены характеристики правильного обнаружения в функции коэффициента отличия  $a_0$  при фиксированных значениях параметра  $d_0$ .

На рис. 7 приведены кривые вероятности правильного обнаружения  $D$  для вероятности ложной тревоги  $F=0,001$  в функции параметра  $\rho$  и некоторых значений  $\gamma$ , показывающие изменение качества обнаружения при отклонении параметров полезного сигнала  $m$  и  $k$  от параметров настройки канала  $m_0$  и  $k_0$ :

$$\rho = \frac{a_0}{a} = \frac{m_0}{m}; \quad \gamma = \frac{d_0}{d} = \frac{k^2(k_0^2 - 1)}{k_0^2(k^2 - 1)}.$$

## Выводы

Для повышения эффективности работы системы человек — машина предлагается структурная схема с управлением функциональным состоянием человека-оператора.

Процессы  $\alpha$  и  $\eta$ , коррелированные соответственно с состоянием внимания и состоянием эмоционального напряжения, могут быть использованы в системе управления функциональным состоянием человека.

Для процессов  $\alpha$  и  $\eta$  получены количественные значения коэффициентов отличия ( $k, a$ ) состояний внимания и эмоционального напряжения от состояния «оперативного покоя».

На основании полученных экспериментальных данных решается статистическая задача обнаружения сигналов эмоционального напряжения и состояния внимания оператора.

## ЛИТЕРАТУРА

1. М. И. Виноградов. Физиология трудовых процессов. Л., Изд-во ЛГУ, 1958.
2. Е. А. Деревянко. Взаимоотношение между некоторыми физиологическими и психологическими факторами при развитии утомления в процессе трудовой деятельности.— Тезисы докладов I съезда общества психологов. М., Изд-во АПН РСФСР, вып. 1.
3. С. А. Коcилов. Исследования проявлений динамического стереотипа в производственной трудовой деятельности.— Вопросы физиологии труда (материалы конференции). М., Медгиз, 1957.
4. С. Л. Рубинштейн. Бытие и сознание. М., Изд-во АН СССР, 1958.
5. К. С. Точилов. Работоспособность человека как фазный процесс. Материалы ленинградской зональной психологической конференции. Л., 1958.
6. Н. П. Бехтерева, В. В. Усов. Методика прерывистой фотостимуляции в ритме собственных потенциалов мозга при регистрации электроэнцефалограммы.— Физиологический журнал, 1960, т. 46, № 1.
7. В. Г. Жуков. Использование биоэлектрической активности мозга для автостимуляции корковой деятельности.— 20-е совещание по проблемам высшей нервной деятельности.— Тезисы и рефераты докладов. М.—Л., Изд-во АН СССР, 1963.
8. И. С. Иванов, П. В. Симонов. Искусственные вегето-сенсорные обратные связи.— Журн. высш. нервн. деят., 1965, т. 15, вып. 4.
9. I. F. Dusailly. La psycho-commande et la psycho-reaction.— Mesures et contrôle industr., 1963, v. 28, № 309, pp. 223—225.
10. T. Mulholland. The Electroencephalogram as an Experimental Tool in the Study of Internal Attention Gradients.— Trans. N. Y. Acad. Sci., 1962, v. 24, № 6, pp. 664—669.

11. T. Mulholland, S. Runnalls. Evaluation of Attention and Alertness With a Stimulus-Brain Feedback Loop.—*Electroencephalogr. and Clin. Neurophysiol.*, 1962, v. 14, № 6, pp. 847—852.
12. H. W. Shipton. An Electronic Trigger Circuit as an Aid to Physiological Research.—*J. Brit. Instn. Radio Engrs.*, 1949, v. 4, pp. 374—383.
13. V. I. Walter, W. G. Walter. The Central Effects of Rhythmic Sensory Stimulation.—*Electroencephalogr. and Clin. Neurophysiol.*, 1949, v. 1, pp. 57—86.
14. П. В. Симонов, Ф. Е. Темников. Адаптивные биоэлектронные системы восприятия, обучения и управления.—Бионика, М., изд-во «Наука», 1965.
15. А. Е. Кобринский и др. Проблемы биоэлектрического управления.—Труды I Международного конгресса Международной федерации по автоматическому управлению. М., Изд-во АН СССР, 1961, т. 2.
16. C. K. Battye and oth. The Use of Myo-Electric Currents in the Operation of Prostheses.—*J. Bone and Joint Surg.*, 1955, v. 37-B, № 3, pp. 506—510.
17. А. А. Фельдбаум. Основы теории оптимальных автоматических систем. М., Физматгиз, 1963.
18. Б. Ф. Ломов. Человек и техника. Л., Изд-во ЛГУ, 1963.
19. П. И. Гуляев. Электрические процессы коры мозга человека. Л., Изд-во ЛГУ, 1960.
20. В. А. Кожевников, Р. М. Мещерский. Современные методы анализа электроэнцефалограммы. М., Медгиз, 1963.
21. Т. Андерсен. Введение в многомерный статистический анализ. М., Физматгиз, 1963.
22. Л. А. Вайнштейн, В. Д. Зубаков. Выделение сигналов на фоне случайных помех. М., изд-во «Советское радио», 1960.
23. А. Е. Башаринов, Б. С. Фейнштам. Методы статистического последовательного анализа и их радиотехнические приложения. М., изд-во «Советское радио», 1962.
24. К. Хелстром. Статистическая теория обнаружения сигналов. М., Изд-во иностр. лит., 1963.

*Поступила в редакцию  
14 октября 1965 г.*